

图 9 Powers 等的等效线路 (a) 及其阻抗随频率的变化 (b)

图 9 中的第一个平台(低频阻抗),即 $R = r_c + r_b$, r_c 和 r_b 分别为晶粒和晶界电阻。Powers 等人测量 $(5P_{1-1})\beta\text{-Al}_2\text{O}_3$ 在 52°C 时与图 9 曲线拐点相应的分隔频率为 $f_c > 10^4 \text{ Hz}$, 而 $(6F_{10-2})\beta\text{-Al}_2\text{O}_3$ 在 98.7—353°C 测量温度范围内 $f_c > 10^5 \text{ Hz}$, 均大于我们使用的测量频率 (2—10 kHz)。另外,由于我们的测量温度较高 (260—400°C), Powers 等的分隔频率关系式

$$f_c = \frac{1}{2\pi C_b} \left(\frac{1 + \frac{r_c}{r_b}}{r_b r_c} \right)^{\frac{1}{2}}$$

中的 r_b , r_c 均随温度升高而减小, C_b 一般变化很小, 所以 f_c 随温度升高向高频方向移动, 使 f_c 大于 10 kHz, 这说明在我们选用的测试

条件下, 测得的电阻为 β 氧化铝晶粒和晶界电阻之和: $R_\beta = r_c + r_b$, 晶界并联电容 C_b 相当于开路 ($\frac{1}{2\pi f C_b} \gg r_b$), Powers 等的等效电路简化为图 10 形式。我们曾经用测得的 β 氧



图 10 多晶 $\beta\text{-Al}_2\text{O}_3$ 在较低频率 ($< f_c$) 下 Na^+ 迁移的等效线路

化铝的电导数据对一个典型的钠硫电池的内阻进行分析, 计算结果与电池放电时的表观内阻符合。

孙成文同志曾参加过本工作。

参 考 文 献

- [1] N. Weber, J. T. Kummer, Proc. 21st Ann. Power Sources Conf., 21(1967), 42.
- [2] N. Weber and J. T. Kummer, Soc. Automotive Engineers Paper, No. 670179 (1967).
- [3] A. Imai and M. Harata, Abstract No. 277, Electrochemical Society Extended Abstracts Spring Meeting, Los Angeles California, (1970), 673.
- [4] 西川友三・西田俊彦・勝山 融・宇野哲夫・上井勲, 窯業協会誌, 82-4(1974), 209.
- [5] R. W. Powers and S. P. Mittoff, J. Electrochem. Soc., 122-2 (1975), 226.
- [6] G. C. Farrington, J. Electrochem. Soc., 121-10 (1974), 1314.
- [7] J. N. Kennedy and A. F. Sammells, J. Electrochem. Soc., 119-12 (1972), 1609.

电子称重直径自控生长的 LiNbO_3 单晶体中功率条纹的研究*

洪静芬 孙政民 杨永顺 闵乃本

(南京大学固体物理研究所)

近年来, 直拉法生长单晶体普遍地采用了电子称重直径自控技术^[1,2]。然而, 在直径控制良好的晶体中仍然存在一种因功率起伏而产生

的生长条纹(即功率条纹)^[3], 这种条纹影响了

* 1979 年 3 月 30 日收到。

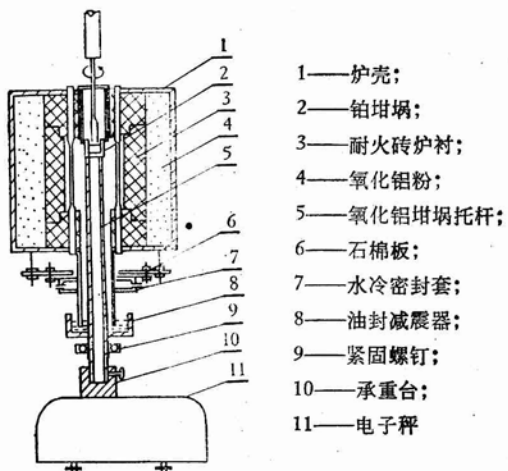


图1 炉体结构示意图

晶体质量。在我们实验室中，已用电子称重法生长了 LiNbO_3 单晶体，并利用引入时标（time marker）的方法^[4]研究了功率条纹的成因，下面简要地报道所取得的主要结果。

电子称重直径自控系统的装置如图1所示。其特点是，置于电子秤上的坩埚及其托杆都不与炉内任何物体接触，处于自由状态；托杆上装有油封减震器，除可通过阻尼作用消除因晶体旋转而产生的噪音外，还可防止冷空气进入炉膛，保持炉内温度稳定。所用电子秤的主要技术参数是：最大容量为300克，感量为36毫克，非线性度为0.3—0.5%。在晶体生长过程中，电子秤的输出信号与一个设定信号比较，其差值送入PID调节器，调节器调整加热功率使偏差恢复到零点。于是通过一个程序执行器改变设定信号，实现了放肩和等径过程的自动控制。利用上述自控系统

已经成功地生长了 ϕ 为22毫米，长为50—80毫米，径差仅为0.1毫米的 LiNbO_3 单晶体。然而这些晶体中存在功率条纹，严重的功率条纹表现为肉眼可见的晶体直径的变化。具有较为

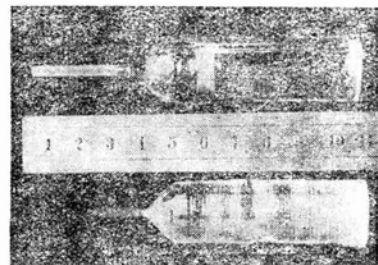


图2 具有功率条纹的晶体，上为 z 轴生长的，下为 x 轴生长的

严重的功率条纹的典型晶体如图2所示，照片的上部所示的晶体是沿 z 轴生长的，下部所示的晶体是沿 x 轴生长的。通过读数显微镜测量了条纹的间距，由此求得产生条纹的周期，这与

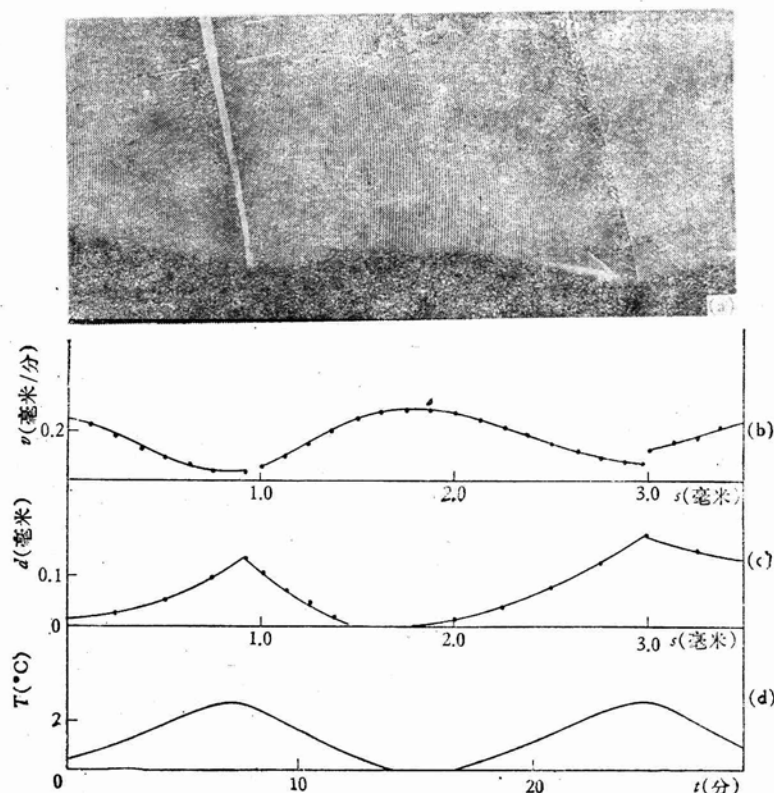


图3 功率条纹

- (a) c 轴生长晶体的纵向剖面上的显微照片 ($\times 25$)；
- (b) 功率条纹中瞬态显微生长速率分布曲线；
- (c) 相应晶体直径的变化曲线；
- (d) 发热体的相对温度起伏

通过温度记录仪的记录曲线求得的功率起伏的周期一一对应，因而证实了这些条纹是功率条纹。

功率条纹的成因是功率起伏引起了瞬态显微生长速率的起伏。为了定量地研究瞬态显微生长速率的起伏，我们利用周期性的旋转生长层作为时标。由于产生二相邻旋转生长层的时间间隔为晶体旋转一周所需的时间，在转速不

(b), (c), (d)，就能看出等径自控系统的调节作用：当直径增大时，自控系统中的差值信号通过调节器使功率加大，迫使晶体的瞬态显微生长速率减小，抑制了直径的增大；同样，当晶体直径减少时，调节作用使功率减少，显微生长速率增大，从而保证了等径生长。此时所使用的调节器参数是： $R = 3.5$, $P = 9$, $I = 6$, $D = 6$ (其中 R 是微伏放大器的输出量, R 减小相当于 P 增大)。由图 3 的结果可知，此时调节器的比例度过大，即放大倍数太小，因而调节周期长，系统不够灵敏。进一步整定调节器参数，使 $R = 9.5$, $P = 9$, $I = 5$, $D = 7$ ，提高了放大倍数，使调节系统比较灵敏，其结果表示于图 4。可以看出，调节周期由图 3 中的 14 分钟缩短到 4 分钟，发热体的相对温度变化由原来的 $\pm 1.4^\circ\text{C}$ 降低到 $\pm 0.7^\circ\text{C}$ ，最大显微生长速率原来比平均生长速率 (0.12 毫米/分) 大 2.5 倍，现减少到 1.4 倍，晶体直径起伏原为 0.2 毫米，现减到小于 0.01 毫米。

通常用“径差”来表征等径生长自控系统的品质，然而上述工作表明，即

使肉眼观察不到直径变化时，瞬态显微生长速率仍然可有 $\pm 40\%$ 的变化 (如图 4)；而瞬态显微生长速率的变化对晶体质量的影响较“径差”更为本质，因而一个理想的等径生长自控系统不仅应能生长径差较小的晶体，而且应要求消除功率条纹。我们的实践表明，当发热体邻近的温度起伏小于 $\pm 0.5^\circ\text{C}$ ，将不出现功率条纹，就能获得显微生长速率均匀的晶体。

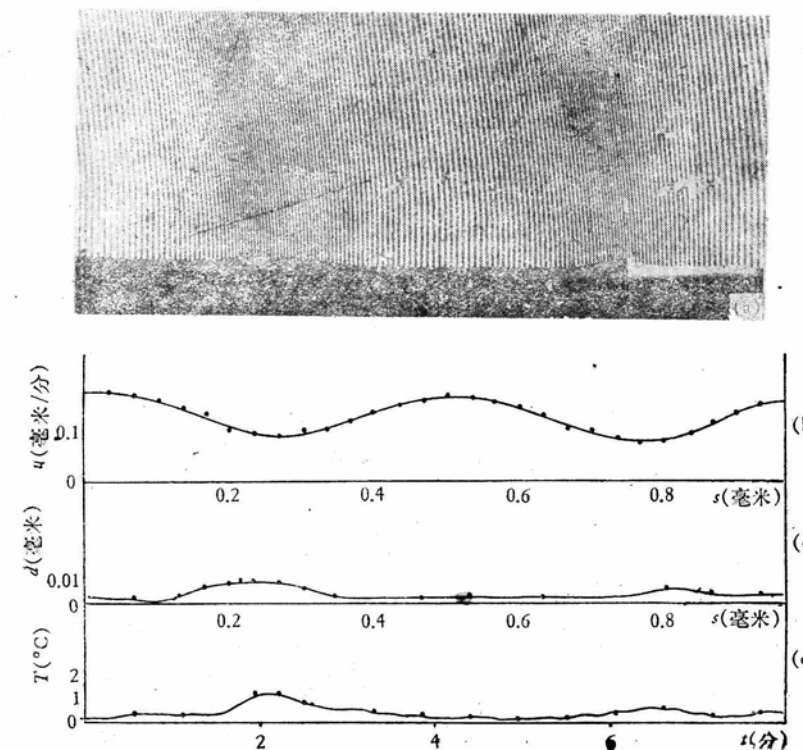


图 4 功率条纹

- (a) 晶体的纵向剖面的显微照片 ($\times 100$)；
- (b) 功率条纹中瞬态显微生长速率分布曲线；
- (c) 相应晶体直径的变化；
- (d) 发热体的相对温度起伏

变的条件下，只需测定某处时标 (旋转生长层) 的间距，就能求出该处的瞬态显微生长速率。

图 3(a) 为晶体纵向剖面的显微照片，图中时标的间距不等，这表明了瞬态显微生长速率是变化的，时标密处，显微生长速率小，稀处生长速率大。将测得的显微生长速率的数据表示为图 3(b)；而相应的晶体直径变化以及功率起伏(通过发热体的相对温度变化来表示)分别表示于图 3(c) 和图 3(d) 中。对照图 3 的 (a)，

参 考 文 献

- [1] W. Barkay, B. Cockayne, G. W. Green et al.,
J. Crystal Growth 24/25 (1974), 369.
[2] 南京大学物理系晶体物理教研室晶体生长科研组, 南

- 京大学学报, 3(1978), 38.
[3] K. Takagi, T. Iheda et al., *J. Crystal Growth*,
38(1977), 206.
[4] J. R. Carruthers and A. F. Witt, in "Crystal
Growth and Characterization", Eds. R. Ueda
and J. B. Mullin, 1975, North-Holland, p. 107.

液晶自由能的简单推导*

林 磊

(中国科学院物理研究所)

描述液晶向列相和胆甾相弹性性质的自由能密度, 其形式为

$$\begin{aligned} F = F(\mathbf{r}) = & \frac{1}{2} K_1 (\operatorname{div} \mathbf{n})^2 \\ & + \frac{1}{2} K_2 (\mathbf{n} \cdot \operatorname{curl} \mathbf{n} + q_0)^2 \\ & + \frac{1}{2} K_3 (\mathbf{n} \times \operatorname{curl} \mathbf{n})^2, \quad (1) \end{aligned}$$

其中 $\mathbf{n}(\mathbf{r})$ 为空间 \mathbf{r} 处之指向 (director), 代表分子的平均取向, $|\mathbf{n}| = 1$. $2\pi/q_0$ 为胆甾相的螺距. 在向列相中, $q_0 = 0$. $K_1 - K_3$ 为弹性常数. 有关这些物理量的进一步讨论, 参看文献[1—4].

这个简单的自由能的具体形式 (从 1933 年起 Oseen^[1] 和 Zöcher^[2] 初步考虑, 其后 1958 年 Frank^[3] 比较完备的处理, 以至后人的进一步工作) 经过漫长三十多年的时间, 才以 (1) 式的通用形式固定下来. 目前常用的推导方法, 除了 Frank 本人所提出的方案外, 还有 de Gennes 在他《液晶物理》这本经典著作里的一个方法^[4] 以及 Nehring 和 Saupe^[5] 分别从分子观点和唯象观点的推导等. 这些方法都比较繁琐, 初入门的人可能觉得比较难懂.

鉴于(1)式 Frank 自由能在液晶理论, 包括具有应用价值的各种效应中的重要性, 我们在这里给出一个简明、系统的新的推导方法.

一般而言^[6], $F = F(n_i, n_{ij})$, 其中 $n_{ij} \equiv \partial n_i / \partial r_j$.

1. 向列相

液晶的向列相具有下列对称性质:

- (i) $\mathbf{n} \rightarrow -\mathbf{n}$ 不变性;
- (ii) 对 \mathbf{n} 的转动不变性;
- (iii) 对垂直于 \mathbf{n} 的平面的反射不变性;
- (iv) 对包含 \mathbf{n} 的平面的反射不变性.

在向列相的自由状态, \mathbf{n} 与空间坐标无关, $n_{ij} = 0$. 因此, 其自由能不包含 n_{ij} 的线性项. 到二阶为止,

$$F = a_{ijkm} n_{ij} n_{km}. \quad (2)$$

显然, *

$$a_{ijkm} = a_{kmij}. \quad (3)$$

我们的方法是先在空间各点选择一个方便的局域坐标系, 利用晶体弹性理论中的一个熟知方法^[7], 把符合 (ii) — (iv) 对称的弹性常数写出来, 再把自由能还原为与坐标系无关的形式. 最后, 利用 (i) 把多余的项除去.

我们取 $\mathbf{n}(\mathbf{r})$ 为 \mathbf{r} 点局域坐标系的 z 轴, 则有 $\mathbf{n} = (0, 0, 1)$. $\mathbf{n}^2 = 1$ 给出

$$n_i n_{ij} = n_{zi} = 0, \quad i, j = x, y, z. \quad (4)$$

同项中重复的下标表示迭加.

定义: $\xi \equiv x + iy$, $\eta \equiv x - iy$. 通过 (x, y, z) 到 (ξ, η, z) 的坐标变换, (2) 式中的下标取 ξ , η 和 z 等值. 对 z (即 \mathbf{n}) 轴转动角度 ϕ , 则 $\xi \rightarrow \xi e^{i\phi}$, $\eta \rightarrow \eta e^{-i\phi}$, $z \rightarrow z$. 所以对称 (ii) 要求 a_{ijkm} 的四个下标包含相同数目的 ξ 和 η ,

* 1979 年 7 月 13 日收到.